

Mitteilungen des  
Arbeitskreises METEORE  
im Kulturbund der DDR

Potsdam, den 22. März 1990

410

Beobachtungen, Auswertungen  
Hinweise

Arbeitskreis Meteore  
PSF 37  
Potsdam, DDR - 1561

Beobachtungsergebnisse Februar 1990

Dt	T <sub>A</sub>	T <sub>F</sub>	T <sub>M</sub>	T <sub>eff</sub>	m <sub>gr</sub>	n	HR	+	=	Beob.	Meth.
02	1726	2216	1951	2.92h	6.24	23	11	81.8		WINRO	P
03	-2353	0255	0125	2.94	6.65	59	16	90.4		BADPI	P
06	0355	0525	0440	1.30	6.24	37	20	±3.3		BADPI	P
19	1807	1937	1852	1.42	6.24	11	10	3.5	2.5	WINRO	P
19	1807	2157	2002	3.55	6.26	21	7.7	90.9		KNOAN	P
21	-2315	0245	0100	2.80	6.73	63	15	82.7		BADPI	P
21	0137	0350	0244	2.08	6.18	12	8.1	2.5	2.0	KNOAN	P
21	2043	2348	2215	2.88	6.89	47	12	81.5		BADPI	P
21	2100	2350	2225	2.53	6.25	16	8.3	2.5	2.0	KNOAN	P
22	0151	0400	0256	2.03	6.29	18	11	3.0	2.5	KNOAN	P
22	1822	2030	1926	2.00	6.21	20	14	4.5	4.0	WINRO	P
22	1830	2105	1947	2.50	5.92	10	7.6	2.5	2.0	RATH	P
22	1915	2115	2015	1.90	6.39	13	7.7	2.5	2.0	KNOAN	P
22	1920	2245	2102	2.80	6.72	50	13	81.4		BADPI	P
23	0029	0335	0202	3.15	6.17	14	6.5	81.4		SCHPA	P
23	0135	0325	0230	1.73	6.30	12	8.6	2.5	2.0	KNOAN	P
23	1810	2210	2010	3.68	6.27	22	7.7	81.0		KNOAN	P
23	2013	2330	2154	3.14	6.12	31	14	81.5		WINRO	P
24	0200	0430	0315	2.35	6.15	14	8.7	2.5	2.1	KNOAN	P
26	1830	2030	1924	1.83	6.29	9	6.3	2.5	1.9	RENU	R
26	1928	2040	2004	1.20	6.43	9	7.7	2.5	2.3	RENU	G
16	1839	1940	1909	0.93	6.20	3	4.3	5.1	2.0	SCHPA	P
20	2237	2346	2312	1.11	5.92	8	14	5.5	4.5	BODRA	P
21	0533	0603	0543	0.41	5.62	4	8.1	11	6	BREHA	C
23	0526	0600	0544	0.45	5.52	3	25	18	12	BREHA	C
23	2040	2220	2130	1.53	5.10	2	6.1	5.7	3.4	RATH	P
23	2040	2220	2130	1.63	5.26	4	9.6	5.9	4.0	RICJA	P
24	1803	1915	1839	1.13	6.09	10	14	5.0	4.0	WINRO	P

Trotz geringer Meteoraktivität waren im Februar zahlreiche Meteorbeobachter aktiv. Die Hochdruckperiode zum Monatsende erbrachte eine ziemlich geschlossene Beobachtungsreihe.

Von den 10 beteiligten Beobachtern wurden in 10 Nächten (28 Einsätze) innerhalb von 57.97 h effektiver Beobachtungsdauer (61.67 h Einsatzzeit) insgesamt 542 Meteora registriert.

Mitteilungen des AK Meteor, Nr. 110, Seite 2

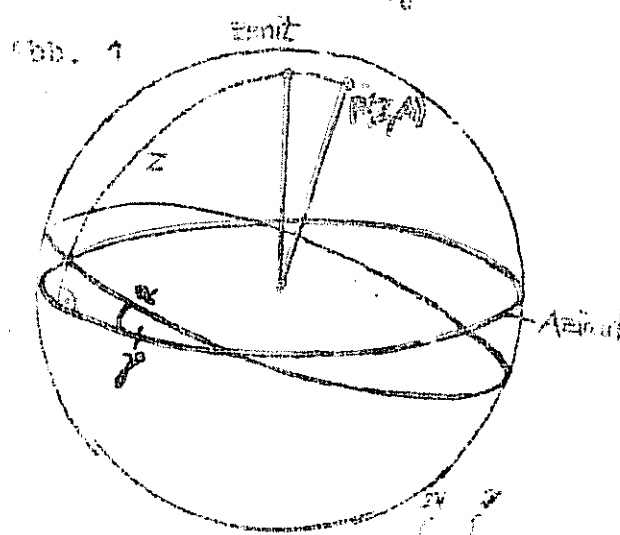
Beobachter im Februar 1990

KNOBL	Knöfel, André; Potsdam	8	Beob. mit 21.42 h Einsatz
BUDRI	Bader, Pierre; Viernau	5	13.65
WINKL	Winkler, Roland; Markleeberg	5	11.14
WITTH	Wittke, Thomas; Dresden	2	4.25
SCHUPA	Scharff, Patric; Kuhfelde	2	4.20
REINH	Rendtel, Jürgen; Potsdam	1	2.13
REICJ	Richter, Janko; Dresden	1	1.67
REINW	Rendtel, Ina; Potsdam	1	1.20
BODR	Bödefeld, Ragnar; Karl-Marx-Stadt	1	1.15
BREHM	Bretschneider, Hartmut; Schneeberg	2	0.36

Über die Verfälschung visueller Meteorstromzählungen durch den sporadischen Hintergrund (Marc Gyssens: VGN 17 (1989), S. 217, Originaltitel: On the Pollution of Visual Meteor Stream Counts by the Sporadic Background, Bearbeitung und Übersetzung: Rainer Arlt)

Die Beantwortung der Fragen nach der Verlässlichkeit kleiner Meteorströme und nach dem Sinn ihrer Beobachtung erfordert die Kenntnis des Anteils sporadischer Meteor, die zufällig dem Radianten zu entspringen scheinen. Der Autor beschreibt ein Modell, das einen recht genauen Wert für diese "Fatenverschmutzung" liefert. Er geht dazu von gleichmäßig am Himmel verteilten sporadischen Meteor aus. Die Wahrscheinlichkeit eines Punktes am Himmel, Radiant eines sporadischen Meteors zu sein, ist proportional  $\cos z$  (nach der herkömmlichen Zenitkorrektur), d.h. ein Punkt hoch über dem Horizont liefert mehr sporadischen Hintergrund als ein tiefer stehender. Meteor befinden sich auf Großkreisen, der Radiant eines Meteors liegt auf dem gleichen Großkreis. Die Meteordichte auf einem Großkreis (oder der Beitrag dieses Großkreises zum sporadischen Hintergrund) ist also proportional der Summe der Beiträge aller auf dem Großkreis befindlichen Radianten, also proportional  $\int \cos z \, d\omega$ ,

$$\cos z = \sin \alpha \cdot \sin \gamma \quad (\text{vgl. Abb. 1}), \quad \text{und daher} \quad \int \cos z \, d\omega \sim \sin \gamma.$$



Der zu einem bestimmten Punkt  $P(Z, \alpha)$  gehörige Großkreis liefert also den Anteil  $f(Z, \alpha) = C \cdot \sin \gamma = C \cdot \sin Z$ , wobei  $C$  der Proportionalitätsfaktor ist.

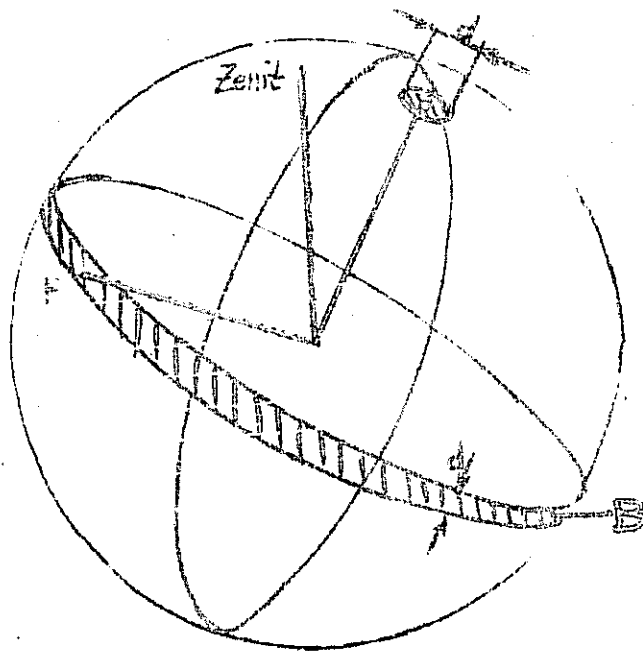
Integriert man nun über alle  $Z$  und  $\alpha$ , so erhält man den Anteil des gesamten Himmels am sporadischen Hintergrund, der natürlich gleich 1 ist. Es lässt sich daher der Proportionalitätsfaktor  $C$  errechnen durch

$$1 = \int_{\alpha=0}^{2\pi} \int_{Z=0}^{\pi} f(Z, \alpha) \sin Z \, dZ \, d\alpha = \frac{1}{2} \pi^2 C, \text{ also } C = \frac{2}{\pi^2}.$$

Mitteilungen des AK Meteor., Nr. 110, Seite 3

die gesuchte Dichtefunktion ist somit  $f(z, \alpha) = \frac{1}{\pi} \sin z$ .

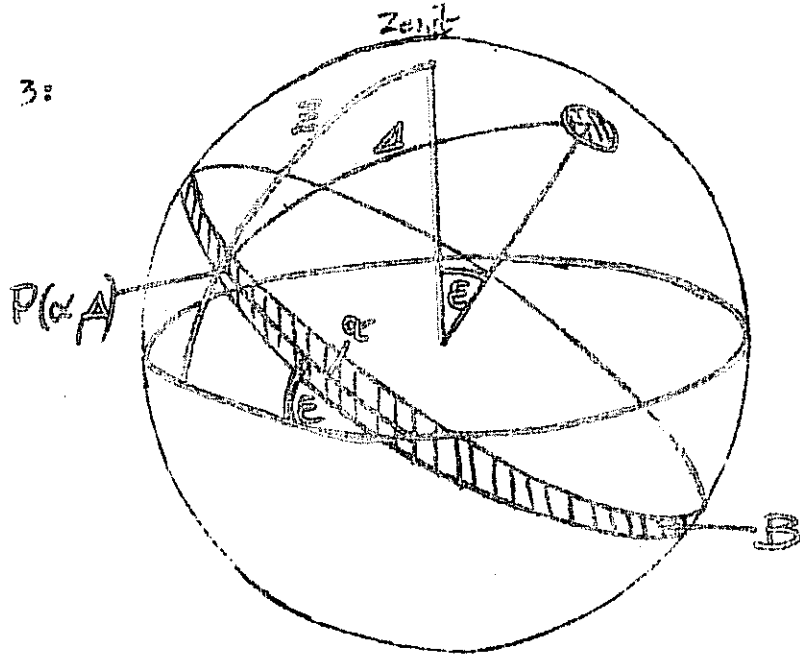
Der Anteil der zufälligen Strommeteore ergibt sich nun aus der Summe der Beiträge derjenigen Großkreise, die einen Radianten mit dem Durchmesser  $d$  durchlaufen (vgl. Abb. 2).



Die Punkte  $p$  der Normalen dieser Großkreise liegen auf einem Band  $B$  der Breite  $d$ . Da  $f(\alpha, \Delta)$  (vgl. Abb. 3) im Gegensatz zu  $f(z, \alpha)$  sowohl von  $\alpha$  wie auch von  $\Delta$  abhängig ist, soll  $\Delta$  durch  $\pi/2$  vereinfacht werden, um die Gleichung einigermaßen handlich zu halten. Diese Vereinfachung ist für kleine  $d$  durchaus vertretbar. Es ergibt sich folgende Gleichung:

$$\iint_B f ds = \int_0^{2\pi} f(\alpha, \frac{\pi}{2}) d\alpha \int_{\frac{\pi-d}{2}}^{\frac{\pi+d}{2}} \sin \alpha d\alpha$$

Abb. 3:



Mitteilungen des AK Meteor, Nr. 116, Seite 4

Die oben beschriebene Dichtefunktion  $f(Z, \alpha)$  ist aber  $Z$ -abhängig, so daß man  $\alpha$  in  $Z$  umrechnen muß:  $\cos Z = \sin \epsilon \sin \alpha$  und da

$$f(Z, \alpha) = \frac{1}{\pi^2} \sin Z, \text{ ist } f(\alpha; \frac{\pi}{2}) = \frac{1}{\pi^2} \sqrt{1 - \sin^2 \epsilon \sin^2 \alpha}.$$

Diesen Ausdruck eingesetzt und das Integral da gelöst, ergibt sich

$$\iint_{\mathbb{R}^2} f ds = \frac{1}{\pi^2} \sin \frac{\pi}{2} \int_0^{2\pi} \sqrt{1 - \sin^2 \epsilon \sin^2 \alpha} d\alpha$$

Es handelt sich hier allerdings um ein elliptisches Integral, das sich mit einer Potenzreihe nähern läßt, die für unseren Fall wie folgt aussieht:

$$\iint_{\mathbb{R}^2} f ds = \frac{4}{\pi^2} \sin \frac{\pi}{2} \left[ 1 - \frac{1}{4} \sin^2 \epsilon + \frac{3}{64} \sin^4 \epsilon - \frac{5}{256} \sin^6 \epsilon + \dots \right]$$

Da nur Meteor in Frage kommen, die vom Radiante wegfauen, dividieren wir den rechten Ausdruck durch 2. Für kleine  $d$  läßt sich  $\sin d/2 \approx d/2$  annehmen und, umgerechnet in Grad, folgt letztendlich für die Wahrscheinlichkeit

$$P = \frac{d}{480^\circ} \left[ 1 - \frac{1}{4} \sin^2 \epsilon + \frac{3}{64} \sin^4 \epsilon - \frac{5}{256} \sin^6 \epsilon + \dots \right]$$

Die Verunreinigung der Stromgradienten hängt also von deren Zenitabstand ab und ist zumindest für kleine  $d$  etwa linear von  $d$  abhängig. Tabelle 1 gibt die Wahrscheinlichkeiten  $p$ , daß ein sporadisches Meteor als Strommeteore klassifiziert wird, an. Die Werte sind mit  $d/180^\circ$  zu multiplizieren.

Tabelle 1:

$\epsilon$	$p$	$\epsilon$	$p$
0°	1.00	60°	0.78
30°	0.93	75°	0.71
45°	0.86	90°	0.63

Da sich die Wahrscheinlichkeiten auch bei niedrigen Andantenständen nicht wesentlich von 1 unterscheiden, wird pauschal ein Wert von  $d/180^\circ$  angenommen. Für einen Radiantendurchmesser von  $7.5^\circ$  beträgt diese Wahrscheinlichkeit 45%. Bei einer sporadischen stündlichen Rate von 15 heißt das, es werden 0.9 sporadische als Strommeteore klassifiziert.

Der Autor schlägt daher eine Verminderung der Zenitraten um 1 vor, die der sporadischen Verschmutzung entsprechen soll. Er weist darauf hin, daß die Beobachtung kleiner Ströme mit ZHR  $\leq 3$  wenn überhaupt nur teleskopisch oder fotografisch (simultan) erfolgen sollte. Er warnt gleichzeitig vor Versuchen, die großen Ströme schon zu sehr frühen bzw. noch zu sehr späten Zeitpunkten ihrer Aktivität feststellen zu wollen. Die Warnung schließt auch Versuche ein, r-Werte aus geringen Meteorzahlen zu ermitteln, wegen des möglichen großen Anteils an Fremdmeteoren.

Bemerkung(RA): Der geschilderte Formalismus benutzt als Kriterium für die Zugehörigkeit zu einem Strom nur die Richtung. Ein Beobachter kann jedoch mehr. Die Berücksichtigung von Winkelgeschwindigkeit und scheinbarer Bahnlänge lässt m.E. zusätzlich zwischen einer Eins-aus-Vier-Veränderung der "Verschmutzung" zu, d.h. von vier zufälligen Strommeteoren wird nur etwa einer die zusätzlichen Kriterien erfüllen.

Beilage zu MM 110

Die Scorpioniden - eine Charakteristik (I. Rendtel)

1. Angaben zum Strom

Radiant:	Apr 15	$224^{\circ} + 15^{\circ}$	Jun 04	$260^{\circ} + 30^{\circ}$
	25	$230^{\circ} + 22^{\circ}$	14	$269^{\circ} - 30^{\circ}$
Mai	05	$236^{\circ} + 25^{\circ}$	24	$279^{\circ} + 28^{\circ}$
	15	$243^{\circ} + 27^{\circ}$	Jul 04	$288^{\circ} - 27^{\circ}$
	25	$251^{\circ} + 29^{\circ}$	14	$297^{\circ} - 24^{\circ}$
			24	$306^{\circ} - 20^{\circ}$

Größe des Radianten:  $15^{\circ} \times 10^{\circ}$

Aktivitätszeitraum: April 15 - Juli 25 ohne Maximum  
Maximale ZHR: 10

Populationsexponent: 2,3

Geozentrische Geschwindigkeit: 30 km/s

Ursprungskörper unbekannt; z.T. Asteroiden in der Diskussion

Bahnelemente:

$\alpha$	$\delta$	$\omega$	$i$	$a$	$e$	$q$	$g$	$M_{\odot}$
$254^{\circ} + 25^{\circ}$	$237^{\circ}$	$7^{\circ}$	$3.3$	$0.31$	$0.26$	$1.98 \text{ au}$	$29 \text{ km/s}$	
$247^{\circ} + 24^{\circ}$	$230^{\circ}$	$323^{\circ}$	$3.3$	$0.91$	$0.21$	$2.34$	$3^{\circ}$	
$240^{\circ} + 22^{\circ}$	$223^{\circ}$	$356^{\circ}$	$3.0$	$0.91$	$0.621$	$2.75$	$3^{\circ}$	

2. Sichtbarkeit

Die sehr große Zenitdistanz dieser Radianten, ihre Ekliptik-nähe und ihre geringe Aktivität erschweren Beobachtungen von der Nordhalbkugel. Beobachtungen von der Südhalbkugel sind weit besser geeignet.

Am Ende der Virginiden-Aktivität im April und Anfang Mai sind einige Konzentrationen von Radianten bei Oph und Lib festzustellen, Ende Mai ist der Komplex in Soc angekommen. Ein recht gut definierter Punkt läßt sich bei Antares Anfang Juni ermitteln. Die Aktivitätsperiode endet im Juli mit einem erneut sehr diffusen Radianten in Cap. Aufgrund der ungünstigen Beobachtungsbedingungen in mittleren nördlichen Breiten sind die beobachtbaren Meteore pro Nacht extrem gering. Aber zuweilen kann man helle Meteorre mit langen Bahnern (tiefer Rad.) und auffälligen Schweifen beobachten.

Es ist sehr schwer, die Radiantenstruktur bzw. die "Subradianten" zu untersuchen. Hier bietet sich sehr die Fotografie von zwei Stationen aus an.

3. Geschichte

Dieser Strom wurde erstmals von PENNING 1899 registriert. Mehrere Beobachter bestätigten die Existenz in den folgenden Jahren. Sie beschrieben die Scorpioniden generell als langsame, meist gelb-orange Meteorre. MCINTOSH (1935) und HOFFMASTER (1918 - 1930) gaben einige Radianten in Soc und Sgr an. Eine erhöhte Aktivität wurde am 17. Juni 1957 und 1958 festgestellt. Der Radiant um  $\omega$  Soc war 1973 mit einer ZHR von 15 auffällig. Frühere Aufzeichnungen lieferten Feuerkugelscheinungen im Jahre 1864; die Meteorre kamen von Radianten in der Nähe von Antares. Einige Beschreibungen im 19. und 20. Jhd. sprechen von einem aktiven Meteorstrom in dieser Gegend des Himmels. Genaue Untersuchungen der Feuerkugelkataloge ergaben 18 Identifizierungen aus der Periode 1846 - 1910.

Australische Beobachter hatten die Möglichkeit, in den letzten Jahren die verschiedenen Soc-Maxima der Scorpion-Sagittariiden zu beobachten. Es ist schwierig, die Meteorre tatsächlich als Partikel eines Stroms zu identifizieren, denn die Bahnelemente weichen stark voneinander ab. Ihre Urprüngeobjekt ist noch nicht gefunden worden. (Verbindung mit Asteroiden?).

(Schluß folgt)

**FEUERKUGEL-ÜBERWACHUNGSNETZ**  
 des Arbeitskreises Meteore  
 visuelle und fotografische  
 Beobachtungen und Auswertungen

NATIONAL FIREBALL NETWORK

16.03.1990

**Einsatzeiten FEBRUAR 1990**

UK.	Name	Ort	PLZ	Feldgrößen	Zeit
EDDRA	Bödefeld	Karl-Marx-Stadt	9001	45° x 64°	113.07
EWADI	Ewald	Melchow	1301	45° x 64°	49.80
PAUAX	Haubeis	Ringelsben	5101	45° x 64°	90.54
PATFR	Kattler	Hildegardshausen	6110	27° x 40°	30.54
KNOAN	Knöfel	Potzdam	1580	41° x 41°	123.02
EDSRA	Koschack	Zittau	8800	8° 180°	75.63
FAADSW	Radebeuls	Radnbeul	8122	di 180°	16.07
FEINJU	Rendtel	Potzdam	1570	8° 80°	104.81
FINHE	Ringk	Dresden	8021	27° x 40°	101.91
SCHHPA	Schartf	Kuhfelde	3561	62° x 84°	47.07
SPFUL	Sperberg	Salzwedel	3560	45° x 64°	14.87
ULRKL	Ulrich	Staßfurt	3250	27° x 40°	60.05
MOLST	Wolf	Zeitz	4900	27° x 40°	81.34

Feb	01 02 03 04 05 06 07 08 09 10 11 12 13												16 17 18 19 20 21 22 23											
	1	2	3	4	5	6	7	8	9	10	11	12	13	14	15	16	17	18	19	20	21	22	23	
EDDRA	5	10	1	12	12	12	12	1	1	0	0	0	0	0	0	0	0	0	0	0	0	0	0	
EWADI	0	0	0	0	0	0	0	0	0	0	0	0	0	0	0	0	0	0	0	0	0	0	0	
PAUAX	9	12	0	0	0	0	0	0	0	0	0	0	0	0	0	0	0	0	0	0	0	0	0	
PATFR	7	0	0	0	0	0	0	0	0	0	0	0	0	0	0	0	0	0	0	0	0	0	0	
KNOAN	11	11	0	0	0	0	0	0	0	0	0	0	0	0	0	0	0	0	0	0	0	0	0	
EDSRA	0	0	0	0	0	0	0	0	0	0	0	0	0	0	0	0	0	0	0	0	0	0	0	
FAADSW	0	0	0	0	0	0	0	0	0	0	0	0	0	0	0	0	0	0	0	0	0	0	0	
FEINJU	12	13	0	0	0	0	0	0	0	0	0	0	0	0	0	0	0	0	0	0	0	0	0	
FINHE	10	0	0	0	0	0	0	0	0	0	0	0	0	0	0	0	0	0	0	0	0	0	0	
SCHHPA	0	0	0	0	0	0	0	0	0	0	0	0	0	0	0	0	0	0	0	0	0	0	0	
SPFUL	0	0	0	0	0	0	0	0	0	0	0	0	0	0	0	0	0	0	0	0	0	0	0	
ULRKL	0	0	0	0	0	0	0	0	0	0	0	0	0	0	0	0	0	0	0	0	0	0	0	
MOLST	0	0	0	0	0	0	0	0	0	0	0	0	0	0	0	0	0	0	0	0	0	0	0	

Feb 24 25 26

Nachtrag Januar 1990

SPEUL | 30.01.90 : 1.83 | JAN ges : 1.83

**FEUERKUGELN**

1990 Jan 20 1613UTC -7° Bahn in SW  
 D:0°3°, F:gelb, G:langsam  
 Meteore, Dresden

1990 Feb 16 165656UTC -4/-5° Bahn A:RA=45°  
 DEC+11° E:RA=31° DEC+10°  
 B:1°, F:gelb  
 Brücke off, Flächen

1990 Feb 21 190205UTC -3° Bahn (nur Ende) E:RA=105° DEC=0°  
 D:8°, F:blau/rot, Funken, G:10°  
 Rotted, Radebeul

1990 Feb 23 00:4338UTC -6/-8° Bahn A:RA=53° E:RA=60°  
 DEC+5°, D:7°, F:gelb/grün, G:10°  
 Scherff, Kuhfelde

## FOTOS

FK 116

1990 Jan 27	nicht viellei., aufn. 16971-4-20-1210UT/1C Feuerkugel $\approx -3$ , $\approx 5$ km, $\approx 5$ km KOSRA (Wettersperr) $127^{\circ} \times 11^{\circ}$ I <sub>SO</sub> $400/27^{\circ}$
1990 Jan 28	nicht viellei., aufn. 010410-053640UTC Meteor $\approx -3$ , $\approx 1$ Zenit KOSRA (Wettersperr) $127^{\circ} \times 11^{\circ}$ I <sub>SO</sub> $400/27^{\circ}$
1990 Feb 02	1752-00UT/2 18.01. Aufn. 169203-010330UTC 03 Feuerkugel $\approx -3$ , $\approx 15$ km (vgl. durch RENDU) RENDU (Pusadai) $\approx 180^{\circ}$ I <sub>SO</sub> $80/20^{\circ}$
1990 Feb 21	nicht viellei., Aufn. 173104-19-4200UTC Feuerkugel $\approx -3$ , SSW h:25-50 KOSRA (Zittau) $\approx 180^{\circ}$ I <sub>SO</sub> $80/20^{\circ}$

### Der "typische" Meteoritenfall (Schrift. A. Knöpfel)

Wie sieht der "typische" Meteoritenfall aus? Diese Frage versuchen Ian Halliday, Alan T. Blackwell und Arthur A. Griffin vom Herzberg Institute of Astrophysics in Canada in ihrem Artikel im Meteoritics 24 (1989) 65-72, "The typical meteorite event, based on photographic records of 44 fireballs" zu beantworten. Dabei gehen sie von den Daten des Meteorite Observation and Recovery Project (MORP) aus und vergleichen die Daten der Feuerkugeln, die "meteoritenverächtig" waren, d.h. die bestimmten Bedingungen erfüllten. Dabei kamen sie u.a. zu folgenden Ergebnissen: Die Zenitdistanz des Radianten Z<sub>p</sub> beträgt etwa 51°, die Dauer der gesamten Erscheinung wird mit 3.2 Sekunden angegeben. Die mittlare Auflaufhöhe liegt bei 72 km, die mittlere Höhe des Verlaufsbeginns bei 31 km. Der Meteoroid tritt bei einer Geschwindigkeit von 15-2 km/s ein und wird auf 8.2 km/s abgebremst. Die maximale Helligkeit beträgt  $-9.2$  ! Extreme Helle Meteoritenfälle sind also in keinem Fall mit einem Meteoritenfall in Verbindung zu bringen.

Die Autoren geben weitere mittlere Werte an, die an dieser Stelle jedoch nicht weiter ausgeführt werden sollen. Weiterhin untersuchten die Autoren Korrelationen zwischen den einzelnen Parametern und fanden sehr starke Korrelationen zwischen der Zenitdistanz Z<sub>p</sub> und der Dauer der Erscheinung, der photometrischen Masse und des Helligkeitsmaximums, der Eintrittsmasse und der maximalen Helligkeit und eine größere Anzahl von (weniger strengen) Korrelationen zwischen weiteren Parametern (z.B. zwischen Eintrittsgeschwindigkeit und Auflaufhöhe). Interessenten können eine Kopie dieser Arbeit erfordern.

### Meteore in der Erdatmosphäre (Fortsetzung von FK 109)

Dagegen ist Q diejenige Enthalpie, die angibt, wieviel Wärmeenergie aufgebracht werden muß, um eine bestimmte Menge Meteoroidenmaterial zum Schmelzen bzw. zum Verdampfen zu bringen. Q hat ungefähr den Wert von 8000 J/g.

Bringt man nun Gleichung (11) in eine ähnliche Form wie Gleichung (10), so ergibt sich daraus:

$$\frac{dM}{dt} = -0.4209 \cdot Q \cdot M^{-\frac{1}{2}} \cdot g_m \cdot s_1 \cdot v(t)^3 \quad (12).$$

Übrigens besteht zwischen der Intensität des Meteorleuchtens (darunter versteht man die Lichtenergie im Intervall von 4500 Å bis 5700 Å) und der kinetischen Energie des Meteoroiden ein direkter Zusammenhang:

$$I = -T \cdot \frac{dM}{dt} \cdot \frac{v^2}{2}$$

(13)

Einen Schwachpunkt in dieser Gleichung bildet hierbei nur der Koeffizient  $\gamma$ . Er gibt an, welcher Bruch der kinetischen Energie des Meteoroiden sich in Lichtenergie umsetzt. Die Angaben der Größe dieses Koeffizienten in der Literatur ist sehr widersprüchlich. Die folgenden Angaben wurden aus / 1 / entnommen:

Für helle Meteor (m < 0) gilt:

$$\gamma = 5,25 \cdot 10^{-5} \quad \text{für } v \text{ in km/s} \quad (14).$$

Für schwache Meteor (m > 0) dagegen gilt:

$$\gamma = 0,02 \cdot v^{-1} \quad \text{für } v \text{ in km/s} \quad (15)$$

$$\gamma = 6,8 \cdot 10^{-5} \cdot v \quad \text{für } v \text{ km/s} \quad (16).$$

Setzt man nun Gleichung (12) in Gleichung (13) ein, kann man ableiten, von welchen physikalischen Größen die Intensität des Meteorleuchtens abhängig ist:

$$I = -0,66045 \cdot r \cdot M^{2/3} \cdot v^2 \cdot p_1 \cdot p_2 \cdot \nu(v)^5 \cdot Q^{-1} \quad (17).$$

Da aber auch  $v$  von der Geschwindigkeit abhängig ist, gilt annähernd:

$$I \sim v(v)^6 \quad (18).$$

Hieraus ist ersichtlich, daß auf die Helligkeit (Intensität) des Meteors die Geschwindigkeit großen Einfluß ausübt. Man kann sogar sagen, daß Meteor mit einer hohen geozentrischen Geschwindigkeit sehr hell sein müssen, wenn man von anderen Eigenschaften, wie z.B. Dichte und Masseverteilung absieht. Den Effekt dieser anderen Größen zeigen die Geminiden, die trotz ihrer relativ mäßigen geozentrischen Geschwindigkeit eine große Helligkeit aufweisen.

In der Astronomie ist es üblich, Helligkeiten in Größenklassen zu angeben. Zwischen der beobachtbaren Helligkeit  $m$  des Meteors und der Entfernung zum Beobachtungsort  $r$  und der Helligkeit  $I$  besteht folgender Zusammenhang:

$$\lg I = 2 \lg r + 0,4 m - 1,28 \quad (19),$$

wobei  $I$  ... Strahlungsleistung im Watt,

$r$  ... Entfernung des Meteor zum Beobachtungsort in km

$m$  ... beobachtbare visuelle Helligkeit in Größenklassen sind.

Zusammenfassung: Die oben genannten Beziehungen bilden die Grundlage dafür, um aus den Meteor-Eigenschaften des Meteoroids die Intensität abzuleiten. Da aber viele "Konstanten" nur angeschätzt werden können bzw. nur einen Näherungswert darstellen, sind Mess- und Dichtebestimmung oft mit Fehlern behaftet.

Nach: P. B. Babadschanov: Meteor und ihre Beobachtung. Verlag Nauka, Moskau, 1937. (russ.). im Text auch / 1 /.

Und hier noch Murphy's PHOTOGRAPHIE-GEBETZ:

1. Die besten Schnappschüsse ergeben sich sofort, nachdem der Film voll ist.
2. Die zweitbesten Schnappschüsse scheitern am Linsendeckel.
3. Alle übrigen Schnappschüsse werden ruiniert, da jemand ahnungslos die Dunkelkammertür öffnet.